

01  
© 1992 г.

## К РАСЧЕТУ МДП СТРУКТУРЫ С КВАЗИОДНОМЕРНЫМ ЭЛЕКТРОННЫМ ГАЗОМ

*С. В. Козырев, В. Ю. Осипов*

Анализируются сверхзужие (шириной  $\leq 1$  мкм) квазиодномерные п-МДП каналы на кремнии, ограниченные с боков обратносмещенными относительно  $n$ -подложки  $p^+$ -областями. Рассматриваются вопросы о распределении зарядов в структуре, о расслоении средней  $n$ -области. Особое внимание уделяется приближению сильно неоднородного двумерного электронного газа и соответствующей постановки задачи в квазиравновесном рассмотрении, когда квазиуровень Ферми для электронов в области аккумуляции в общем случае не совпадает с уровнем Ферми нейтральной части  $n$ -полупроводника. При этом принимается во внимание квантование в  $+z$ -направлении, а вдоль  $x$ -направления ситуация рассматривается классически.

### Введение

Электронный шнур в МДП структуре с квазиодномерным электронным газом [1—5] является сложным (даже без учета квантования) нелинейным объектом, требующим для своего описания согласованного решения двумерных нелинейных дифференциальных уравнений в частных производных.

В работе [6] квазиодномерный канал исследовался с учетом влияния подвижных носителей, однако в режиме слабого заполнения. В данной работе развивается аналитический подход, предложенный в [6], и в рамках аналитического подхода рассматриваются неисследованные ранее вопросы, а именно распределение зарядов в системе, расслоение средней  $n$ -области, анализируется также метод решения задачи в области сильной аккумуляции в приближении неоднородного двумерного электронного газа (при учете лишь квантования в  $z$ -направлении). Данные вопросы представляют интерес не только для общего понимания физики процессов, происходящих в структуре, но и в связи с изучением задачи о характере расширения проводящего канала с ростом напряжения на затворе, т.е. задачи о переходе от квазиодномерного к двумерному электронному газу с ростом числа носителей в канале.

### 1. Баланс зарядов в системе

В работе [6] для распределения потенциалов в  $n$ -области полупроводника  $\varphi(x, z)$  и диэлектрике  $\varphi_d(x, z)$  были получены следующие выражения<sup>1</sup> (рис. 1):

$$\begin{aligned} \varphi(x, z) = & \frac{2\pi en_0}{\alpha_{nn}} (l^2 - x^2) + V_c + \sum_{k=0}^{\infty} A_k \cos \left[ \frac{\pi x (2k+1)}{2l} \right] \times \\ & \times \exp \left[ - \frac{\pi z (2k+1)}{2l} \right], \end{aligned} \quad (1)$$

<sup>1</sup> В целях ясности дальнейшего изложения формулы (1) — (4) приводятся из работы [6].

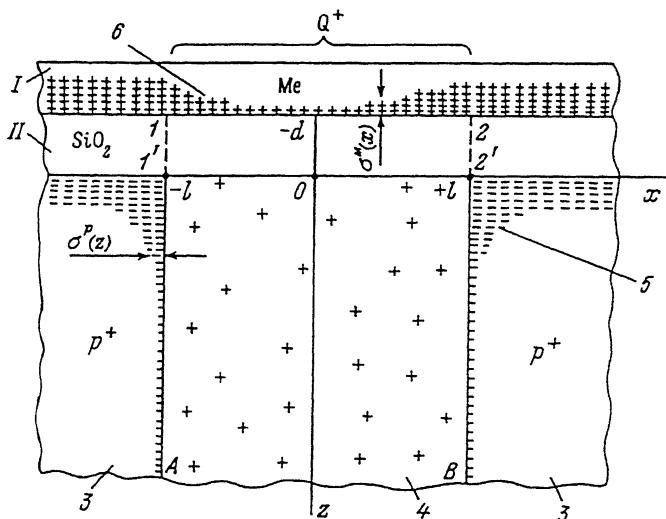


Рис. 1. Распределение зарядов в структуре.

1 — металлический затвор; 2 — слой двуокиси кремния; 3 — боковые  $p^+$ -области; 4 — средняя  $n$ -область; 5 — избыточный, быстро затухающий в  $+z$ -направлении отрицательный поверхностный заряд; 6 — неоднородное распределение поверхностной плотности положительного заряда на металле затвора. Нейтральная  $n$ -подложка на рисунке не показана.

где

$$A_k = \frac{4(-1)^k}{\pi(2k+1)} \frac{V_g - V_c - \frac{16en_0l^2}{\pi\varepsilon_{pp}(2k+1)^2} \operatorname{th}(\pi(2k+1)d/2l)}{\frac{\pi(2k+1)d/2l}{\operatorname{th}\left[\frac{\pi d(2k+1)}{2l}\right]} + \frac{\varepsilon_{pp}}{\varepsilon} \frac{\pi d(2k+1)}{2l}} \quad (2)$$

и

$$\varphi_d(x, z) = V_c + (V_c - V_g) \frac{z}{d} + \sum_{k=0}^{\infty} \frac{\operatorname{sh} \frac{\pi(2k+1)(z+d)}{2l}}{\operatorname{sh} \frac{\pi(2k+1)d}{2l}} f_k \times \times \cos \frac{\pi(2k+1)x}{2l}, \quad (3)$$

где

$$f_k = A_k + \frac{64(-1)^k}{\pi^2} \frac{en_0l^2}{\varepsilon_{pp}(2k+1)^3}. \quad (4)$$

Здесь  $\varepsilon_{pp}$ ,  $\varepsilon$  — диэлектрические проницаемости полупроводника и диэлектрика,  $n_0$  — концентрация донорных примесей в  $n$ -области,  $d$  — толщина диэлектрика,  $2l$  — металлургическая ширина МДП канала,  $V_g$  и  $V_c$  — потенциалы затвора и боковых  $p^+$ -областей,  $e$  — заряд электрона,  $k$  — индекс суммирования. В подпороговом режиме положительный заряд обедненной  $n$ -области компенсируется (так как система в целом электронейтральна) областями отрицательного пространственного заряда в  $p^+$ -кремни и областью положительного пространственного заряда в материале затвора (рис. 1). Высоколегированный  $p^+$ -кремний (если

легированение  $N_A$  удовлетворяет условию перехода Мотта металл—диэлектрик  $N_A^{1/3}a_B \geq 0.26$ , где  $a_B$  — боровский радиус акцептора в материале  $p^+$ -типа), имеет металлический характер проводимости во всей области температур, включая низкие. Поэтому нейтральная часть  $p^+$ -областей эквипотенциальна и имеет плоские зоны, область же отрицательного пространственного заряда сосредоточена в чрезвычайно узком слое на границах раздела  $p^+ \text{--Si} \text{--} n \text{-Si}$  и  $p^+ \text{--Si} \text{--окисел}$ .

Определяя поверхностную двумерную плотность отрицательного заряда в  $p^+$ -областях вдоль линий  $I' \text{--} A$  и  $2' \text{--} B$  как

$$\sigma^P(z) = \frac{\alpha_{\text{пп}}}{4\pi} \frac{d\varphi}{dx} \Big|_{x=\pm l}$$

и используя (1), получим

$$\sigma^P(z) = -en_0l - \frac{\alpha_{\text{пп}}}{8l} \sum_{k=0}^{\infty} (-1)^k (2k+1) A_k \exp \left[ -\frac{\pi z(2k+1)}{2l} \right]. \quad (5)$$

Видно, что помимо постоянной составляющей  $-en_0l$  в плотности поверхностного заряда (она соответствует случаю неограниченной по  $z$  в обоих направлениях  $p^+ \text{--} n \text{--} p^+$ -структуре) имеется затухающая в  $+z$ -направлении составляющая. Это связано с неоднородностью распределения зарядов в системе при выходе обоих  $p^+$ -переходов на поверхность, что приводит, согласно (5), к избыточному отрицательному быстрозатухающему по  $z$  заряду.

Поверхностная плотность положительного заряда, выступающего на металле затвора (при  $-l < x < +l$ ), определится как

$$\sigma^M(x) = \frac{-\alpha}{4\pi} \frac{d\varphi_d(x,z)}{dz} \Big|_{z=-d},$$

и, используя (2), получим

$$\sigma^M(x) = \frac{-\alpha}{4\pi} \left[ \frac{V_c - V_g}{d} + \sum_{k=0}^{\infty} \frac{\frac{\pi(2k+1)}{2l}}{\operatorname{sh} \frac{\pi(2k+1)d}{2l}} f_k \cos \frac{\pi(2k+1)x}{2l} \right] \quad (6)$$

или в ином представлении

$$\sigma^M(x) = \frac{-\alpha}{4\pi} \sum_{k=0}^{\infty} \left[ \frac{4(-1)^k(V_c - V_g)}{\pi(2k+1)d} + \frac{\frac{\pi(2k+1)}{2l}}{\operatorname{sh} \frac{\pi(2k+1)d}{2l}} f_k \right] \times \cos \frac{\pi(2k+1)x}{2l}. \quad (7)$$

При этом зависимость  $\sigma^M(x)$  имеет минимум при  $x = 0$ . Под металлом затвора при  $x < -l$  и  $x > +l$  (в случае  $d \ll l$ ) можно считать поверхностные плотности зарядов на металле (граница металл— $\text{SiO}_2$ ) и на поверхности  $p^+$ -кремния (граница  $\text{SiO}_2 \text{--} p^+ \text{-Si}$ ) равными

$$\sigma^M(x) \approx \frac{\alpha}{4\pi} \frac{-V_c + V_g}{d}$$

и

$$\sigma^p(x) \cong \frac{\infty}{4\pi} \frac{-V_g + V_c}{d}$$

соответственно, т. е. взаимно компенсируемыми. Поскольку объемный положительный заряд с плотностью  $en_0$  в  $n$ -области шириной  $2l$  полностью компенсируется постоянными составляющими отрицательных поверхностных зарядов при  $x = -l$  и  $x = +l$  с плотностью  $en_0 l$ , то интегральный избыточный заряд<sup>2</sup> в  $p^+$ -областях

$$Q^- = 2 \int_0^\infty (\sigma^p(z) + en_0 l) dz = \frac{-\infty_{\text{пп}}}{2\pi} \sum_{k=0}^\infty (-1)^k \cdot A_k \quad (8)$$

должен компенсироваться полным зарядом затвора на участке  $-l < x < +l$

$$Q^+ = \int_0^\infty \sigma^M(x) dx = \frac{-\infty}{2\pi} \sum_{k=0}^\infty \left[ \frac{8l(V_c - V_g)}{\pi^2 (2k+1)^2 d} + \frac{(-1)^k f_k}{\text{sh} \frac{\pi(2k+1)d}{2l}} \right]. \quad (9)$$

Из равенства  $|Q^-| = |Q^+|$  получаем для  $A_k$

$$A_k = \frac{4(-1)^k}{\pi(2k+1)} \frac{V_g - V_c - \frac{16}{\pi} \frac{en_0 l^2}{\infty_{\text{пп}} (2k+1)^2} \frac{\pi(2k+1)d/2l}{\text{sh}(\pi(2k+1)d/2l)}}{\frac{\pi(2k+1)d/2l}{\text{sh} \frac{\pi(2k+1)d}{2l}} + \frac{\infty_{\text{пп}} \pi d (2k+1)}{\infty} \frac{2l}{2l}}. \quad (10)$$

Сравнивая (10) с (2), отметим, что при  $d \ll l$  данный подход дает удовлетворительный результат для распределения зарядов в системе. Таким образом, проведена проверка решения (1), (2) на теорему Гаусса—Остроградского для контура  $A-1-2-B$

$$\infty_{\text{пп}} \int_{1'-A}^{2'-B} \frac{d\varphi(x,z)}{dx} dz + \infty \int_{1-2}^{2-dz} \frac{d\varphi_d(x,z)}{dz} dx \cong 4\pi \int_0^{+\infty+l} \int_{-l}^{+\infty+l} e n_0 dx dz \quad (11)$$

Неточность определения баланса зарядов, вытекающая из сравнения (10) с (2), происходит вследствие неучета потоков вектора напряженности электрического поля через контуры  $1'-1$  и  $2'-2$ . Учет потока через контуры  $1'-1$  или  $2'-2$  дает следующую величину интегрального избыточного заряда, появляющегося на обкладках МДП конденсатора при  $x > +l$  или  $x < -l$  в приближении линейного хода потенциала вдоль линий  $1'-1$  и  $2'-2$ :

$$Q = \frac{\infty}{4\pi} \sum_{k=0}^\infty (-1)^k f_k \frac{1 - \text{ch} \frac{\pi d(2k+1)}{2l}}{\text{sh} \frac{\pi d(2k+1)}{2l}}. \quad (12)$$

Дополнительно отметим, что проведенный выше анализ означает, что и при нулевом напряжении затвора относительно нейтральной части  $n$ -подложки металл затвора при  $-l < x < +l$  имеет ненулевой поверхностный заряд.

<sup>2</sup> Подразумевается величина заряда на единицу длины в направлении, перпендикулярном плоскости  $x0z$ , поэтому величины  $Q^-$  и  $Q^+$  имеют размерность Кл/м.

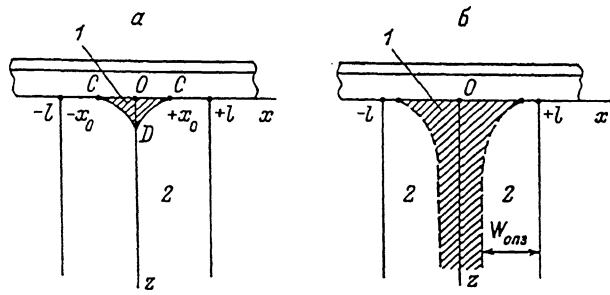


Рис. 2. Расслоение средней  $n$ -области при условии слабого перекрытия канала слоями ОПЗ (а) и при условии  $2l > 2W_{\text{опз}}$  (б).

1 — нейтральная  $n$ -область, 2 — полностью обедненная  $n$ -область.

## 2. О расслоении средней $n$ -области

Проанализируем (1), (2) при нулевом потенциале затвора относительно нейтральной части  $n$ -подложки, когда потенциал боковых  $p^+$ -областей уже не слишком велик, так что  $n$ -объем структуры при больших  $z$  еще заведомо перекрыт слоями ОПЗ  $p^+$ - $n$ -переходов с некоторым запасом  $2l < 2W_{\text{опз}}$ , т.е. анализируется ситуация вблизи равенства этих величин (здесь  $W_{\text{опз}} = (\omega_{\text{пп}} V_c / 2\pi e n_0)^{1/2}$  — толщина пространственного заряда одиночного  $p^+$ - $n$ -перехода). Тогда может оказаться, что вблизи точки  $(0, 0)$  потенциал  $\varphi(x, z) > 0$ . Но в приближении полностью обедненной средней  $n$ -области (а именно в этом приближении и определялось затравочное решение (1), (2)) это является некорректным результатом, поскольку означает появление отрицательного электронного заряда в окрестности точки  $(0, 0)$ . Из этого следует, что в такой ситуации при нулевом напряжении затвора относительно  $n$ -подложки при  $T = 0$  средняя  $n$ -область расщеливается на полностью обедненную  $n$ -область (2) и нейтральную  $n$ -область (1), находящуюся в состоянии практически плоских зон  $\varphi(x, z) \approx 0$  (при  $T \geq 77$  К это справедливо с точностью до переходных областей, где концентрация свободных носителей экспоненциально спадает от  $n_0$  до 0). При этом поверхностная плотность зарядов на металле затвора  $\sigma^M(x) = 0$  в области  $-x_0 < x < +x_0$  (рис. 2, а). Таким образом, данная ситуация является промежуточной между режимом полного обеднения средней  $n$ -области, когда всюду при  $z > 0$  и  $-l < x < +l$   $\varphi(x, z) < 0$ , и режимом  $2l > 2W_{\text{опз}}$  (рис. 2, б), когда в системе возникает односвязная протяженная по  $z$  (для идеальной модели вплоть до  $+\infty$ ) нейтральная  $n$ -область.

Рост напряжения на затворе приводит в такой ситуации к формированию начального аккумуляционного слоя вдоль линии С—С практически, как и в обычных МДП структурах, однако результирующая эффективная ширина аккумуляционного слоя в режиме сильного вырождения превышает величину  $2x_0$  (рис. 2, а).

Линия контура  $CDC$ , отделяющего нейтральную  $n$ -область от полностью обедненной  $n$ -области, вообще говоря, может сильно отличаться от контура, соответствующего линии  $\varphi(x, z) = 0$  в формуле (1), и находится в рамках общей концепции решения задачи двумерного нелинейного экранирования, хотя может оказаться и из решения специально сформулированной вариационной задачи со свободной границей для контура  $CDC$  в модели двух областей. На рис. 3, а, б схематически показан ход потенциала  $\varphi(x, z)$  при  $x = 0$  по оси  $z$  в исследуемом случае соответственно при  $V_g = 0$  и  $V_g > 0$ , когда уже сформировано сильно вырож-

<sup>3</sup> При  $T = 0$  с точностью до энергии связи мелкого донора в кремни (Е<sub>д</sub> ≈ -45 мэВ).

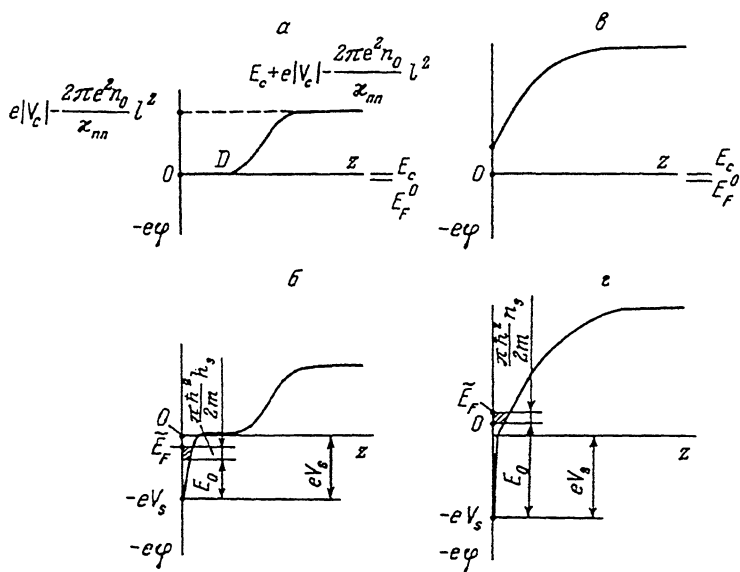


Рис. 3. Схематическое распределение потенциала по оси  $z$  при  $x = 0$  (на примере хода дна зоны проводимости  $n$ -кремния) при наличии нейтральной  $n$ -области вблизи точки  $(0, 0)$  (а, б) и в случае полностью обедненной  $n$ -области (в, г).

а, в — при нулевом напряжении затвора относительно нейтральной части  $n$ -подложки ( $V_g = 0$ ), когда аккумуляционный слой еще не сформирован; б, г — при ненулевом потенциале затвора ( $V_g > 0$ ), когда аккумуляционный слой уже сформирован.  $E_c$  — уровень дна зоны проводимости в нейтральной части подложки (выбран за начало отсчета для величин  $E_F^0$ ,  $E_F(x)$ ,  $\tilde{E}_F$ );  $E_F^0$  — уровень Ферми, контролируемый нейтральным  $n$ -объемом полупроводника;  $\tilde{E}_F$  — квазиуровень Ферми в области аккумуляции;  $-eV_s < 0$  — дополнительный изгиб зон, обусловленный собственно аккумуляционным слоем и отсчитываемый от уровня  $E_c$ ;  $E_0$  — величина первого уровня размерного квантования для движения по  $z$  (отсчет от уровня поверхностного потенциала на границе раздела  $\text{Si}-\text{SiO}_2$  при  $z = 0$ ).

денный аккумуляционный слой. При полном обеднении средней  $n$ -области при  $V_g = 0$  (рис. 3, в) формирование аккумуляционного слоя с ростом  $V_g$  (рис. 3, г) происходит таким образом, что на расстоянии 60–100 Å от границы раздела  $\text{Si} - \text{SiO}_2$  (т. е. вне области аккумуляционного слоя) потенциал  $\varphi(x, \approx 0)$  фиксируется вблизи нуля [7] там, где аккумуляционный заряд уже существует (в смысле распределения по оси  $x$ ). Увеличение затворного напряжения приводит и к появлению положительного заряда в области  $-l < x < +l$  на металле затвора (практически равного интегральному аккумуляционному заряду), который заполняет исходный минимум в распределении поверхностной плотности положительного заряда на металле затвора.

## Приложение

### Постановка задачи в приближении сильно неоднородного двумерного электронного газа

Для структур на низколегированных  $n$ -подложках ( $\sim 10 \text{ Ом}\cdot\text{см}$ ) в режиме сильной аккумуляции, когда электронный газ сильно вырожден, реализуемом уже при небольшом превышении затворным напряжением порога отпирания, целесообразно говорить при строгом рассмотрении не о квазиодномерном, а о сильно неоднородном электронном газе, который описывается функцией  $n_s(x)$ .

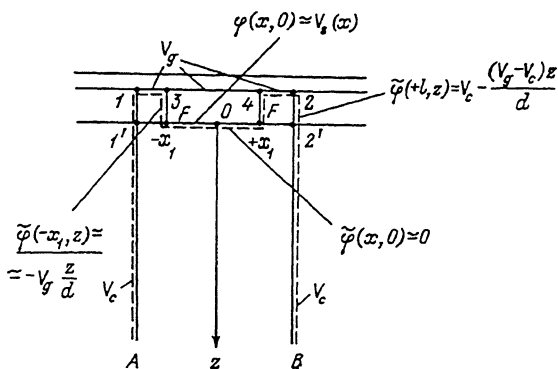


Рис. 4. Границные условия для  $\tilde{\varphi}(x, z)$  в приближении неоднородного двумерного электронного газа.

Здесь  $n_s(x)$  — зависимость эффективной двумерной концентрации по оси  $x$ . Это обстоятельство связано с тем, что эффективная ширина аккумуляционного канала в таких структурах, как правило, находится в пределах от 0.1 до 0.7 мкм (при металлургической ширине, равной 1 мкм), а толщина аккумуляционного слоя составляет 50—100 Å в режиме сильного вырождения. Это и позволяет подойти к описанию такой системы, используя функции  $n_s(x)$ ,  $E_0(x)$ ,  $V_s(x)$ ,

$$\frac{\partial \varphi(x, z)}{\partial z} \Big|_{z=0},$$

где  $E_0(x)$  — зависимость энергии первого уровня размерного квантования для движения по  $z$  от координаты  $x$ ,  $-eV_s(x)$  — зависимость изгиба зон, обусловленного собственно аккумуляционным зарядом, от  $x$ . Здесь  $\tilde{\varphi}(x, z)$  — распределение потенциала в составной области  $A-I-3-F-F-4-2-B$ , полученное в результате решения уравнений Пуассона и Лапласа при граничных условиях (рис. 4)  $\tilde{\varphi}(x, 0) \approx 0$  на участке  $-x_1 < x < +x_1$ ,  $\tilde{\varphi}(x, -d) = V_g$  на участках  $-l < x < -x_1$  и  $+x_1 < x < +l$ , где  $\pm x_1$  — точки, в которых двумерная концентрация электронов обращается в нуль. При этом подразумевается линейный ход потенциала вдоль линий  $I'-I$ ,  $2'-2$ ,  $F-3$ ,  $F-4$ , так как  $d$  значительно меньше  $l$ . Используя вариационную функцию типа Фэнга—Ховарда [8]

$$\xi(b, z) = \left[ \frac{b^3}{2} \right]^{1/2} \cdot z \exp \left[ -\frac{b \cdot z}{2} \right], \quad (13)$$

можно записать распределение электронного заряда в системе в виде

$$\rho(x, z) = e n_s(x) |\xi(b(x), z)|^2 \quad (14)$$

и, выразив функции  $n_s(x)$ ,  $V_s(x)$  и  $E_0(x)$  через

$$b(x) \text{ и } \frac{\partial \tilde{\varphi}(x, z)}{\partial z} \Big|_{z=0}$$

по аналогии с [9], свести описание системы к нахождению функции  $b(x)$ , согласующейся с решением уравнения Лапласа для диэлектрика в области  $F-3-4-F$  с граничными условиями  $\varphi(x, 0) = V_s(x)$  и  $\varphi(x, -d) = V_g$  при  $-x_1 < x < x_1$  и решением для  $\varphi(x, z)$ . Для такого согласования может быть использована следующая связь:

$$n_s(x) = \frac{1}{4\pi e} \left| \partial \tilde{\varphi}(x,z) \right|_{z=0} - \left| \partial \varphi(x,z) \right|_{z=0}, \quad (15)$$

где

$$\left| \frac{\partial \varphi(x,z)}{\partial z} \right|_{z=0} \equiv \frac{V_g - V_s(x)}{d}.$$

При этом необходимо требовать по возможности постоянства хода уровня Ферми по  $x$  в области аккумуляции

$$E_F(x) = -eV_s(x) + E_0(x) + \frac{\pi \hbar^2}{2m} n_s(x) \cong \tilde{E}_F,$$

допуская в крайнем случае его небольшие осцилляции около среднего уровня  $\tilde{E}_F$ . Здесь  $\hbar$  — постоянная Планка,  $m$  — эффективная масса плотности состояний. Это требование равносильно в некотором роде минимизации функционала

$$J = \frac{\left[ \frac{1}{x_1} \int_0^{+x_1} \left[ n_s(x) \frac{d E_F(x)}{dx} \right]^2 dx \right]^{1/2}}{\frac{1}{x_1} \int_0^{+x_1} n_s(x) dx}. \quad (16)$$

Здесь числитель, домноженный на  $e \cdot \mu$ , (где  $\mu$  — подвижность носителей), означает среднеквадратическую величину отклонения потока носителей в плоскости двумерного слоя от нулевого значения, происходящую в результате неточностей вычислительной процедуры, а знаменатель — среднюю концентрацию двумерных носителей в области канала. Для фиксированного потенциала затвора существует оптимальное положение точек  $x = \pm x_1$ , при котором вышеуказанное согласование осуществляется с минимальной невязкой.

В данной модели, однако, уровень Ферми в области аккумуляционного слоя  $\tilde{E}_F$  в общем случае не совпадает с уровнем Ферми  $E_F^0$ , определяемым нейтральной частью  $n$ -полупроводника<sup>4</sup>. Подобная ситуация, когда квазиуровень Ферми в области аккумуляционного слоя отличается от уровня Ферми, определяемого нейтральным объемом  $n$ -полупроводника, является термодинамически неравновесной и в действительности может иметь место при  $T = 0$ , когда переход в термодинамически равновесное состояние осуществляется за бесконечно долгое время или, например, при слабой подсветке структуры.

Для элемента двумерного электронного газа в интервале  $[x-dx, x+dx]$  в общем случае существует сложная зависимость положения локального квазиуровня Ферми  $E_F(x)$ , отсчитываемого от края зоны проводимости в нейтральной части  $n$ -подложки, от локальной концентрации носителей  $n_s(x)$  и величины  $(\partial \varphi(x,z)) / \partial z \Big|_{z=0}$  в точке  $x$ . Затравочное распределение поверхностной концентрации  $n_s(x)$ , грубо оцененное в соответствии с (15) по аналогии с [7], имеет максимум при  $x = 0$ . Из этого следует, что в случае, когда зависимость  $E_F(x)$  по оси  $x$ , соответствующая затравочному распределению  $n_s(x)$  и полученная пока без учета установления термодинамического равновесия в целом по ширине аккумуляционного канала (т. е. до процедуры выравнивания  $E_F(x)$  по оси  $x$ ), имеет минимум при  $x = 0$ , то перетекание двумерных носителей из областей с большими  $E_F(x)$  в области с меньшими  $E_F(x)$  приведет к уменьшению эффективной ширины элек-

<sup>4</sup>Разрешение аналогичной проблемы в обычных МДП аккумуляционных слоях приводит к нетривиальному решению для хода потенциала в структуре [10].

тронного канала по сравнению с первичными оценками. Подобная ситуация возникновения сверхузкого канала реализуется при малых значениях электронных концентраций вблизи порога отпирания и требует учета потенциала изображения и обменно-корреляционных поправок при вычислении  $E_0(x)$ .

Хотя данная задача еще требует дальнейшего численного решения, тем не менее характерный электронный заряд, при котором ширина проводящего канала близка к металлографической, можно оценить, используя результаты раздела 1. Очевидно, величина его равна

$$\approx t \cdot \left[ \frac{e}{4\pi} \frac{V_g - V_c}{d} 2l - Q^+ \right],$$

где  $t$  — коэффициент порядка 2—3, а величины в формуле относятся к точке порога отпирания структуры.

Авторы благодарят Ю. В. Шмарцева и А. Я. Вуля за поддержку данного направления исследований.

#### Список литературы

- [1] Fowler A. B., Hartstein A., Webb R. A. // Physica. 1983. Vol. 117B & 118B. P. 661.
- [2] Webb R. A., Fowler A. B., Harstein A., Wainer J. J. // Surf. Sci. 1986. Vol. 170. P. 14.
- [3] Вуль А. Я., Зинчик Ю. С., Осипов В. Ю. и др. // Матер. IX Всесоюз. симпозиума "Электронные процессы на поверхности и в тонких слоях полупроводников". Новосибирск, 1988. Т. 1. С. 100—101.
- [4] Осипов В. Ю., Вуль А. Я., Зинчик Ю. С. и др. // Тез. докл. XI Всесоюз. конф. по физике полупроводников. Кишинев, 1988. Т. 2. С. 87—88.
- [5] Козырев С. В., Осипов В. Ю., // Тез. докл. XXVI Всесоюз. совещания по физике низких температур "Электронные явления при низких температурах". Донецк, 1990. С. 110—111.
- [6] Козырев С. В., Осипов В. Ю., // ЖТФ. 1990. Т. 60. Вып. 10. С. 69—75.
- [7] Шик А. Я. // ФТП. 1985. Т. 19. Вып. 8. С. 1488.
- [8] Андо Т., Фаулер А., Стерн Ф. Электронные свойства двумерных систем. Пер. с англ. М.: Мир, 1985. 416 с.
- [9] Stern F., Howard W. E. // Phys. Rev. Vol. 163. P. 816—835.
- [10] Левин Е. И., Монахов А. М., Рогачев А. А. // ФТП. 1988. Т. 22. Вып. 3. С. 450—454.

Физико-технический институт  
им. А. Ф. Иоффе  
С.-Петербург

Поступило в редакцию  
11 ноября 1990 г.